

1 Wstęp

1.1 Wykresy funkcji w środowisku Matlab. Funkcje anonimowe.

Przykład 1. Chcemy wykonać wykres (w środowisku Matlab) oraz wyznaczyć (numerycznie) wartość całki oznaczonej, w granicach od -4 do 4 z funkcji

$$f(t) = e^{-t^2} \sin^2(5t). \quad (1)$$

Ponadto, chcemy wykonać wykres (w granicach od -4 do 4) z funkcji

$$f_{\text{env}}(t) = e^{-t^2}. \quad (2)$$

Wykresy funkcji (1) oraz (2) przedstawia Rys. 1. Wykresy te można wykonać korzystając z jednego z następujących skryptów (Listing 1 i Listing 2). W obydwu listingach jest również wyznaczana wartość całki oznaczonej

$$\int_{-4}^4 e^{-t^2} \sin^2(5t) dt. \quad (3)$$

Listing 1.

```
clear
close all
clc
nfontslatex = 18;
nfonts = 14;

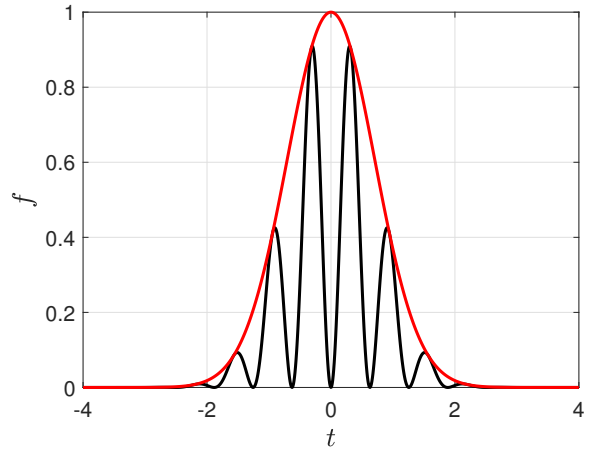
f_scalar = @(t) exp(-t^2)*(sin(5*t))^2;
f = @(t) arrayfun(f_scalar,t);
I_1 = integral(f,-4,4);
disp(I_1)
I_2 = integral(@(t) arrayfun(f_scalar,t),-4,4);
disp(I_2)

f_envelope_scalar = @(t) exp(-t^2);

t = linspace(-4,4,1e+3);

figure
plot(t,f(t),'-k','LineWidth',2.0)
hold on
plot(t,arrayfun(f_envelope_scalar,t), ...
     '-r','LineWidth',2.0)

grid on
set(gca,'FontSize',nfonts)
xlabel('$t$','Interpreter','Latex', ...
     'FontSize',nfontslatex)
ylabel('$f$','Interpreter','Latex', ...
     'FontSize',nfontslatex)
print('../Figures/functionPlot01A.eps', ...
     '-depsc','-r600')
print('../Figures/functionPlot01A.jpg', ...
     '-djpeg','-r600')
print('../Figures/functionPlot01A.pdf', ...
     '-dpdf','-r600')
```



Rysunek 1: Wartości zmiennych x_1, x_2 w funkcji czasu t . [Przykład 4]

Listing 2. clear, close all, clc

```
nfontslatex = 18;
nfonts = 14;

f = @(t) exp(-t.^2).*(sin(5*t)).^2;
I = integral(f,-4,4);
disp(I)

f_envelope = @(t) exp(-t.^2);

t = linspace(-4,4,1e+3);

figure
plot(t,f(t),'-k','LineWidth',2.0)
hold on
plot(t,f_envelope(t),'-r','LineWidth',2.0)

grid on
set(gca,'FontSize',nfonts)
xlabel('$t$','Interpreter','Latex', ...
     'FontSize',nfontslatex)
ylabel('$f$','Interpreter','Latex', ...
     'FontSize',nfontslatex)
print('../Figures/functionPlot01A.eps', ...
     '-depsc','-r600')
print('../Figures/functionPlot01A.jpg', ...
     '-djpeg','-r600')
print('../Figures/functionPlot01A.pdf', ...
     '-dpdf','-r600')
```

Wynik: wartość rozpatrywanej całki wynosi $I = 0.8862$.

1.2 Numeryczne rozwiązywanie równań różniczkowych w środowisku Matlab

Informacje o rozwiązywaniu równań różniczkowych zwyczajnych w środowisku Matlab:

<https://www.mathworks.com/help/matlab/ref/ode45.html>

Ogólny schemat numerycznego całkowania równań różniczkowych

$$\dot{x} = f[t, x(t)] \quad (4)$$

na przedziale $[t_{\text{init}}, t_{\text{final}}]$ i z warunkiem początkowym

$$x(0) = x_{\text{init}} \quad (5)$$

ma postać:

```
for t = 0 : T : t_f - T
    znajdź aproksymację  $I(t) \approx \int_t^{t+T} f[t, x(t)] dt$ 
     $x(t + T) = x(t) + I(t)$ 
end
```

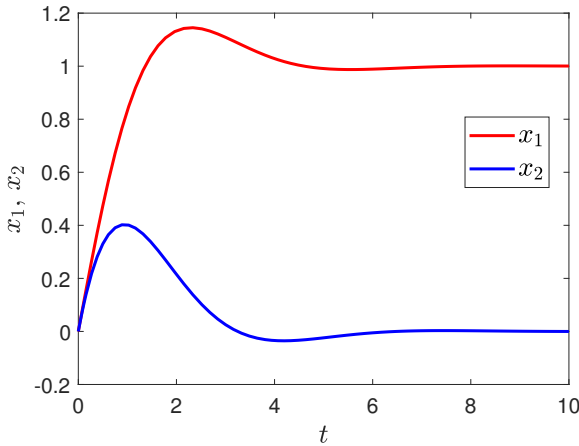
Istnieje wiele schematów krokowych całkowania numerycznego, w dalszym ciągu będziemy korzystać z dostępnej w środowisku Matlab procedury ode45.

Przykład 2. Zakładając zerowe warunki początkowe, na przedziale czasu $[0, 10]$, wykonać symulację układu dynamicznego $\dot{x} = Ax + Bu$, gdzie

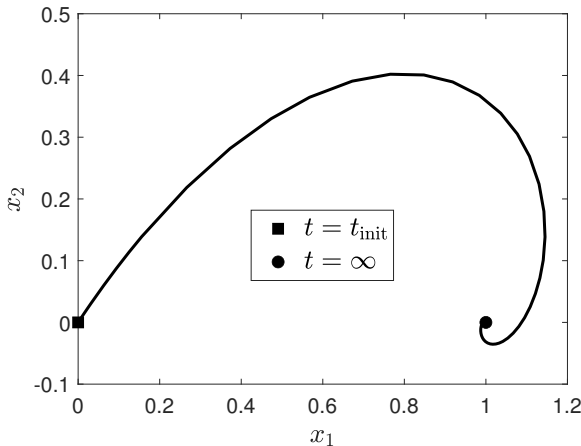
$$A = \begin{bmatrix} -1.0 & 1.0 \\ -1.0 & -0.5 \end{bmatrix}, \quad B = \begin{bmatrix} 1.0 \\ 1.0 \end{bmatrix}. \quad (6)$$

Symulację wykonać dla wymuszenia w postaci a) skoku jednostkowego $u(t) = 1$, b) $u(t) = \sin(t)$. Korzystając z funkcji eig sprawdzić czy układ jest stabilny. Dla wymuszenia z podpunktu a) powtórzyć symulację dla przedziału $[0, 1.0]$ i warunków początkowych

$$x(0) = \begin{bmatrix} 1.0 \\ 1.0 \end{bmatrix}. \quad (7)$$



Rysunek 2: Wartości zmiennych stanu x_1, x_2 w funkcji czasu. [Przykład 2]



Rysunek 3: Trajektorja stanu dla wymuszenia w postaci skoku jednostkowego. Symbolem ■ zaznaczono początek trajektorii ($t = t_{\text{init}}$), symbolem ● zaznaczono koniec trajektorii ($t = \infty$, tzn. punkt stacjonarny) [Przykład 2]

Listing 3.

```
clear
close all
clc
nfontslatex = 18;
nfonts = 14;

A = [-1, 1; -1, -0.5];
eig(A)
B = [1; 1];
% u = @(t) sin(t);
u = @(t) 1;
f = @(t,x) A*x+B*u(t);
tInit = 0.0;
tFinal = 10.0;
xInit = [0; 0];
options = odeset('RelTol',1e-12,'AbsTol',1e-12);
[t,X] = ode45(f,[tInit,tFinal],xInit,options);
```

```
figure
plot(t,X(:,1),'-r','LineWidth',2.0)
hold on
plot(t,X(:,2),'-b','LineWidth',2.0)
set(gca,'FontSize',nfonts)
xlabel('$t$', 'Interpreter','Latex', ...
'FontSize',nfontslatex)
ylabel('$x_{1}$', '\,x_{2}$', ...
'Interpreter','Latex', ...
'FontSize',nfontslatex)
legend({'$x_{1}$','$x_{2}$'}, ...
'Interpreter','Latex', ...
'FontSize',nfontslatex,'Location','Best')
```

```
figure
plot(xInit(1),xInit(2),'sk', ...
'MarkerSize',10,'MarkerFaceColor','k')
hold on
xStationary = -A\B;
plot(xStationary(1),xStationary(2),'ok', ...
'MarkerSize',8,'MarkerFaceColor','k')
plot(X(:,1),X(:,2),'-k','LineWidth',2.0)
set(gca,'FontSize',nfonts)
xlabel('$x_{1}$','$x_{2}$', 'Interpreter','Latex', ...
'FontSize',nfontslatex)
ylabel('$x_{2}$', 'Interpreter','Latex', ...
'FontSize',nfontslatex)
legend({'$t=t_{\rm init}$','$t=\infty$'}, ...
'Interpreter','Latex', ...
'FontSize',nfontslatex,'Location','Best')
```

Przykład 3. Rozpatrujemy szeregowy obwód RLC opisany równaniami

$$u = iR + L \frac{d}{dt} i + v_c, \quad (8a)$$

$$i = C \frac{d}{dt} v_c, \quad (8b)$$

gdzie u oznacza napięcie źródła, i oznacza natężenie prądu płynącego w obwodzie, zaś v_c oznacza napięcie na kondensatorze. Równania te możemy przekształcić do równoważnej postaci

$$\frac{d}{dt} v_c = i/C, \quad (9a)$$

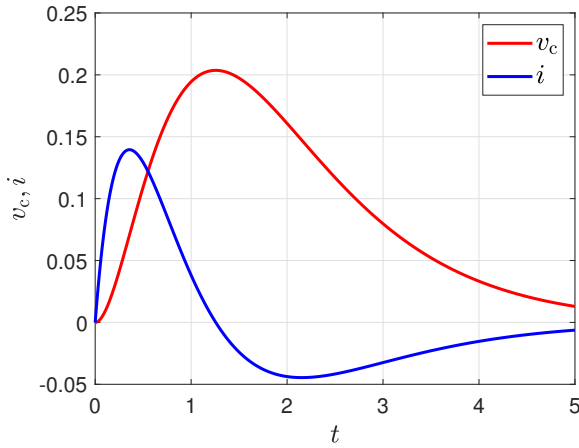
$$\frac{d}{dt} i = -(R/L)i - (1/L)v_c + (1/L)u. \quad (9b)$$

Założmy, że $R = 3$, $L = 1$, $C = 1/2$ oraz $u(t) = e^{-2t}$. Wówczas ściśle rozwiązanie, przy założeniu zerowych warunków początkowych, wyraża się wzorem

$$v_c(t) = 2e^{-t} - 2(1+t)e^{-2t}, \quad (10a)$$

$$i(t) = -e^{-t} + (1+2t)e^{-2t}. \quad (10b)$$

Rozpatrywane równania można oczywiście rozwiązać numerycznie.



Rysunek 4: Wykres napięcia v_c na kondensatorze i natężenia prądu i w obwodzie z Przykładu 3].

Przykład 4. Dane jest tzw. równanie van der Pola

$$\ddot{y} - \mu(1 - y^2)\dot{y} + y = 0, \quad (11)$$

gdzie $\mu > 0$ jest parametrem. Chcemy wyznaczyć rozwiązanie tego równania na przedziale $[0, 20]$, dla warunków początkowych $y(0) = 2$, $\dot{y}(0) = 0$. Jest to równanie drugiego rzędu, aby skorzystać z procedury `ode45` należy przekształcić je do układu równań pierwszego rzędu. Możemy to zrobić przyjmując oznaczenia $x_1 = y$, $x_2 = \dot{x}_1$. Wówczas mamy

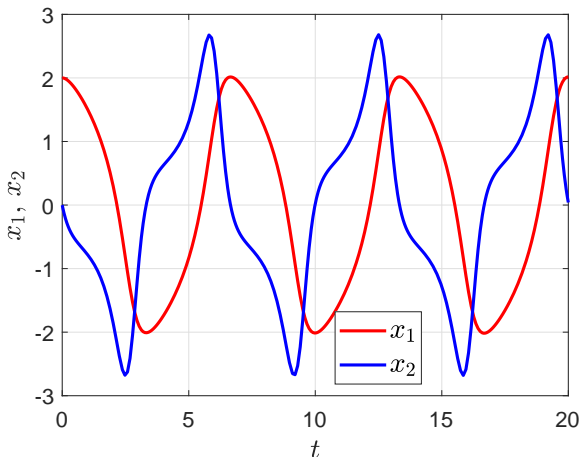
$$\dot{x}_1 = x_2, \quad (12a)$$

$$\dot{x}_2 = \mu(1 - x_1^2)x_2 - x_1, \quad (12b)$$

czyli postać (4) gdzie

$$f(t, x(t)) = \begin{bmatrix} x_2 \\ \mu(1 - x_1^2)x_2 - x_1 \end{bmatrix}. \quad (13)$$

Zauważmy, że w rozpatrywanym przypadku funkcja $f(t, x(t))$ nie zależy w sposób jawny od zmiennej niezależnej t (która często oznacza czas). Poszukiwane rozwiązanie można wyznaczyć za pomocą kodu z Listingu 4. Wykres otrzymanego rozwiązania przedstawia Rys. 5



Rysunek 5: Wartości zmiennych x_1 , x_2 w funkcji czasu t . [Przykład 4]

Listing 4.

```
clear
close all
clc
nfontslatex = 18;
nfonts = 14;

m = 1.0;
f = @(t,x) [x(2); m*(1-x(1)^2)*x(2)-x(1)];
tInit = 0.0;
tFinal = 20.0;
xInit = [2; 0];
options = odeset('RelTol',1e-14,'AbsTol',1e-14);
[t,X] = ode45(f,[tInit,tFinal],xInit,options);

figure
plot(t,X(:,1),'r','LineWidth',2.0)
hold on
grid on
plot(t,X(:,2),'b','LineWidth',2.0)
set(gca,'FontSize',nfonts)
xlabel('t$','$','Interpreter','Latex', ...
'FontSize',nfontslatex)
ylabel('$x_{1}$','$x_{2}$','$','Interpreter','Latex', ...
'FontSize',nfontslatex,'Location','Best')
print('VDP.eps','-depsc','-r600')
print('VDP.jpg','-djpeg','-r600')
print('VDP.pdf','-dpdf','-r600')
```

Rozpatrzmy modyfikację układu równań (12)

$$\dot{x}_1 = x_2 + \sin(t), \quad (14a)$$

$$\dot{x}_2 = \mu(1 - x_1^2)x_2 - x_1 + 2 \cos(t), \quad (14b)$$

czyli postać (4) gdzie

$$f(t, x(t)) = \begin{bmatrix} x_2 + \sin(t) \\ \mu(1 - x_1^2)x_2 - x_1 + 2 \cos(t) \end{bmatrix}. \quad (15)$$

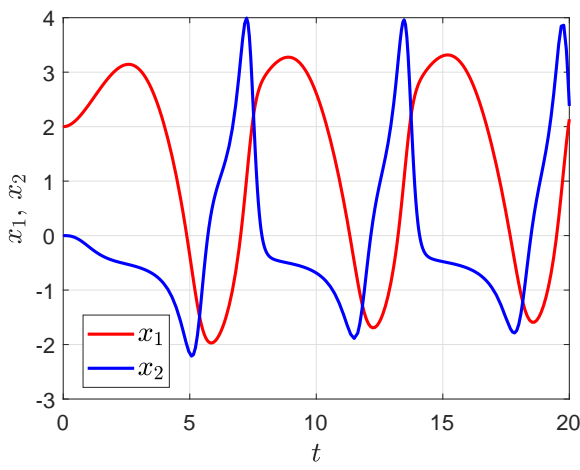
Zauważmy, że w tym przypadku funkcja $f(t, x(t))$ zależy w sposób jawny od zmiennej niezależnej t . Aby wyznaczyć rozwiązanie układu (14) wystarczy zmodyfikować dotychczasowy kod, w szczególności wiersz w którym zdefiniowano funkcję $f(t, x(t))$, zamiast

```
f = @(t,x) [x(2); m*(1-x(1)^2)*x(2)-x(1)];
```

wpisać

```
f = @(t,x) [x(2); m*(1-x(1)^2)*x(2)-x(1)] + ...
[sin(t); 2*cos(t)];
```

Wykres otrzymanego rozwiązania przedstawia Rys. 6



Rysunek 6: Wartości zmiennych x_1 , x_2 w funkcji czasu t . [Przykład 4]

Zadanie 1. Powtórzyć wyniki z Przykładu 4.

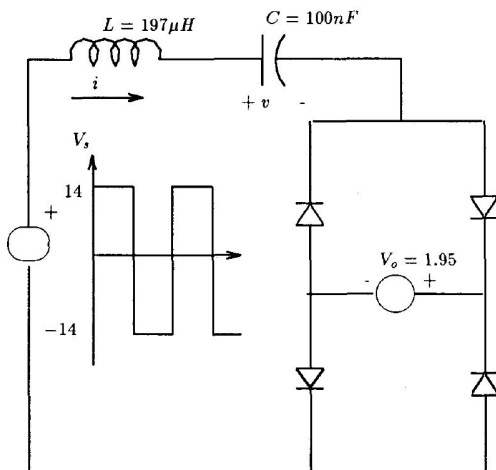
Zadanie 2. Wyznaczyć numerycznie na przedziale $[0, 5]$ rozwiązanie układu z Przykładu 3 (Rys. 4).

Zadanie 3. Układ z Rys. 7 (szeregowy przekształtnik rezonansowy z obciążeniem napięciowym, ang. *DC-DC series resonant converter with voltage source load*) [1] jest opisany równaniami

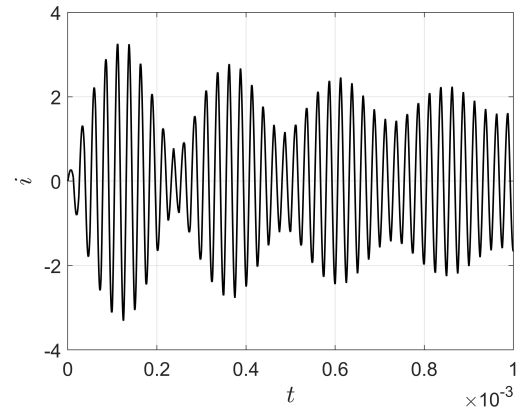
$$\frac{d}{dt}i = \frac{1}{L} [-v - V_0 \text{sgn}(i) + V_s \text{sgn}(\sin(\omega_s t))], \quad (16a)$$

$$\frac{d}{dt}v = \frac{1}{C}i \quad (16b)$$

Wyznacz przebiegi natężenia prądu dławika i oraz napięcia v na kondensatorze w przedziale czasowym $[0, 0.003]$, częstotliwość przełączania $f_s = 40$ kHz.



Rysunek 7: Szeregowy przekształtnik rezonansowy z obciążeniem napięciowym [1].



Rysunek 8: Przebieg natężenia prądu i w szeregowym przekształtniku rezonansowym z obciążeniem napięciowym [1].

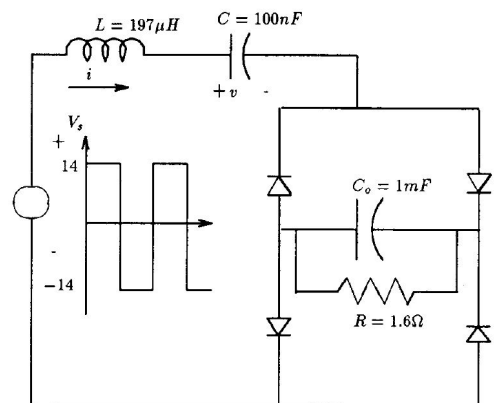
Zadanie 4. Układ z Rys. 9 (szeregowy przekształtnik rezonansowy z obciążeniem pojemnościowym, ang. *DC-DC series resonant converter with capacitor load*) [1] jest opisany równaniami

$$\frac{d}{dt}i = \frac{1}{L} [-v - v_0 \text{sgn}(i) + V_s \text{sgn}(\sin(\omega_s t))], \quad (17a)$$

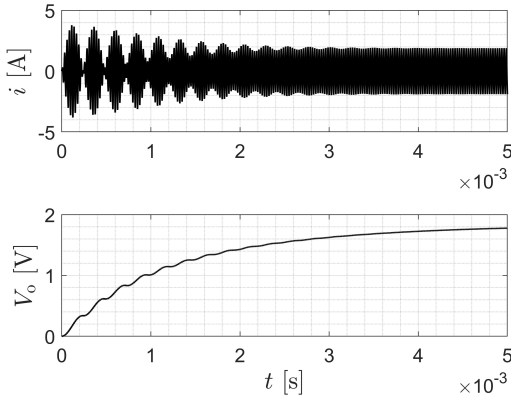
$$\frac{d}{dt}v = \frac{1}{C}i \quad (17b)$$

$$\frac{d}{dt}v_0 = \frac{1}{C_0} [\text{abs}(i) - \frac{v_0}{R}] \quad (17c)$$

Wyznacz przebiegi natężenia prądu dławika i oraz napięcia v na kondensatorze w przedziale czasowym $[0, 0.003]$, częstotliwość przełączania $f_s = 40$ kHz.



Rysunek 9: Szeregowy przekształtnik rezonansowy z obciążeniem pojemnościowym [1].



Rysunek 10: Przebiegi natężenia prądu idławika i napięcia v_0 na kondensatorze C_0 w szeregowym przekształtniku rezonansowym z obciążeniem napięciowym [1].

Zadanie 5. Układ z Rys. 11 (przekształtnik *buck-boost*) [1] jest opisany równaniem

$$\dot{x} = Ax + uBx + bu + f, \quad (18)$$

gdzie

$$A = \begin{bmatrix} \frac{-(R_1+R_2)}{L} & 0 \\ 0 & \frac{-1}{C(R+R_3)} \end{bmatrix}, \quad (19)$$

$$B = \begin{bmatrix} \frac{-R_3(2R+R_3)}{L(R+R_3)} + \frac{R_1+R_2}{L} & \frac{R+2R_3}{L(R+R_3)} \\ \frac{-R}{C(R+R_3)} & 0 \end{bmatrix}, \quad (20)$$

$$b = \begin{bmatrix} \frac{R_3 R I_{out}}{L(R+R_3)} - \frac{V_{in}}{L} \\ 0 \end{bmatrix}, \quad f = \begin{bmatrix} \frac{V_{in}}{L} \\ \frac{R I_{out}}{C(R+R_3)} \end{bmatrix}. \quad (21)$$

Można rozpatrywać wersję uproszczoną w której pomija się rezystancje cewki, kondensatora i przełączania, wówczas kładziemy $R_1 = R_2 = R_3 = 0$. Funkcja przełączania u jest funkcją okresową, w rozpatrywanym przykładzie, przyjmujemy, że jej wartość jest zero dla pierwszej połowy okresu i jeden dla drugiej połowy, co matematycznie możemy wyrazić wzorem

$$u(t) = \frac{1}{2}(1 - \text{sgn}(\sin(\omega_s t))), \quad (22)$$

w środowisku Matlab możemy ją zdefiniować

```
u = @(t) (1-sign(sin(ws*t)))/2;
```

lub

```
u = @(t) (sin(ws*t) < 0);
```

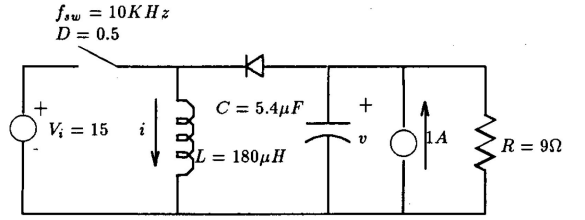
Zauważmy, że układ (18) możemy traktować jako niestacjonarny układ liniowy opisany równaniem

$$\dot{x} = \tilde{A}(t)x + \tilde{u}(t), \quad (23)$$

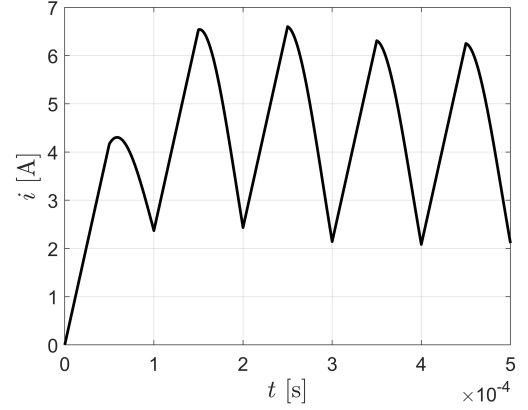
gdzie

$$\tilde{A}(t) = A + Bu(t), \quad \tilde{u}(t) = bu(t) + f. \quad (24)$$

Zauważmy, że (23) jest układem liniowym o współczynnikach okresowych (periodycznych), ponieważ $\tilde{A}(t)$ jest funkcją okresową. Wyznacz przebiegi natężenia prądu dławika i oraz napięcia v na kondensatorze w przedziale czasowym $[0, 0.003]$, częstotliwość przełączania $f_s = 40$ kHz.



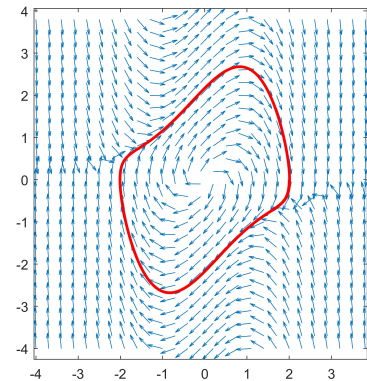
Rysunek 11: szeregowy przekształtnik rezonansowy z obciążeniem pojemnościowym [1].



Rysunek 12: szeregowy przekształtnik rezonansowy z obciążeniem napięciowym [1].

2 Portrety fazowe

Przykład 5. Portrety fazowe można generować wykorzystując funkcję *quiver*. Przykładowe użycie funkcji *quiver*, dla układu van der Pola, zawiera poniższy Listing 5.



Rysunek 13: Portret fazowy dla układu van der Pola

Listing 5. % van der Pol equation

```

clear
close all
clc
nfontslatex = 18;
nfonts = 14;

m = 1.0;
f = @(t,x) [x(2); m*(1-x(1)^2)*x(2)-x(1)];
f1 = @(x1,x2) x2;
f2 = @(x1,x2) m*(1-x1^2)*x2-x1;
x1_min = -4.0;
x1_max = 4.0;
x2_min = -4.0;
x2_max = 4.0;
stepSize = 0.3;
[X1,X2] = meshgrid(x1_min:stepSize:x1_max, ...
x2_min:stepSize:x2_max);
Y1 = arrayfun(f1,X1,X2);
Y2 = arrayfun(f2,X1,X2);
Y1_n = Y1./sqrt(Y1.^2+Y2.^2);
Y2_n = Y2./sqrt(Y1.^2+Y2.^2);

figure
quiver(X1,X2,Y1_n,Y2_n)
daspect([1 1 1])
hold on
tInit = 0.0;
tFinal = 20.0;
xInit = [2; 0];
options = odeset('RelTol',1e-12,'AbsTol',1e-12);
[t,X] = ode45(f,[tInit,tFinal],xInit,options);
plot(X(:,1),X(:,2),'r','LineWidth',2.0)
axis('tight')

```

Zadanie 6. Powtórzyć wyniki z Przykładu 5, w szczególności wygenerować Rys. 13. Rysunek ten przedstawia trajektorię wektora stanu (zaznaczoną kolorem niebieskim) odpowiadającą warunkom początkowym

$$x(0) = \begin{bmatrix} 2 \\ 0 \end{bmatrix}. \quad (25)$$

Trajektoria ta jest dosyć szczególną trajektorią, ponieważ jest tzw. cyklem granicznym. Należy wyznaczyć kilka trajektorii dla różnych warunków początkowych i umieścić ich wykresy je na tym samym rysunku.

Literatura

- [1] S.R Sanders, J.M Noworolski, X.Z Liu, and G.C Verghese. Generalized averaging method for power conversion circuits. *IEEE transactions on power electronics*, 6(2):251–259, 1991.